

Fig. 1

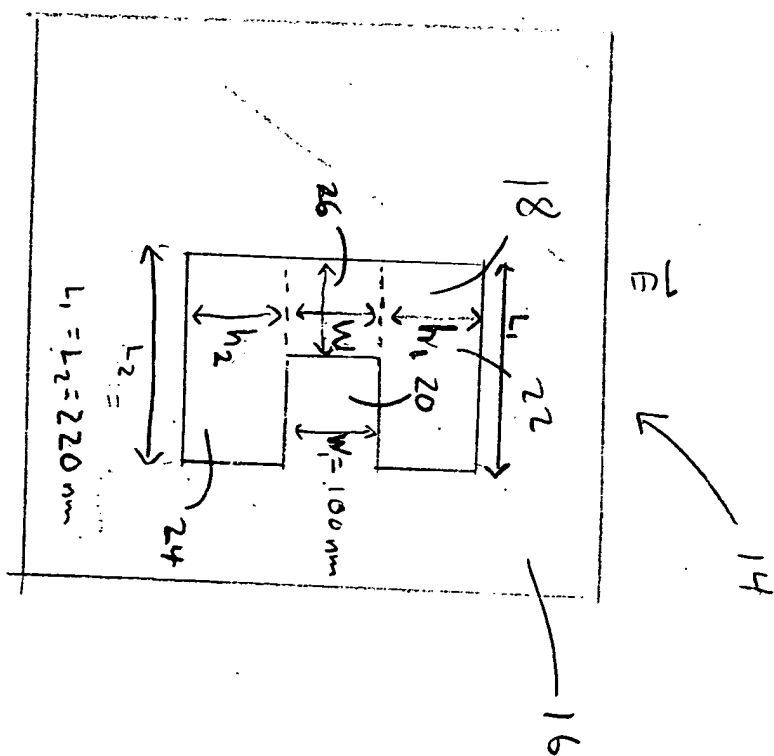


Fig. 2



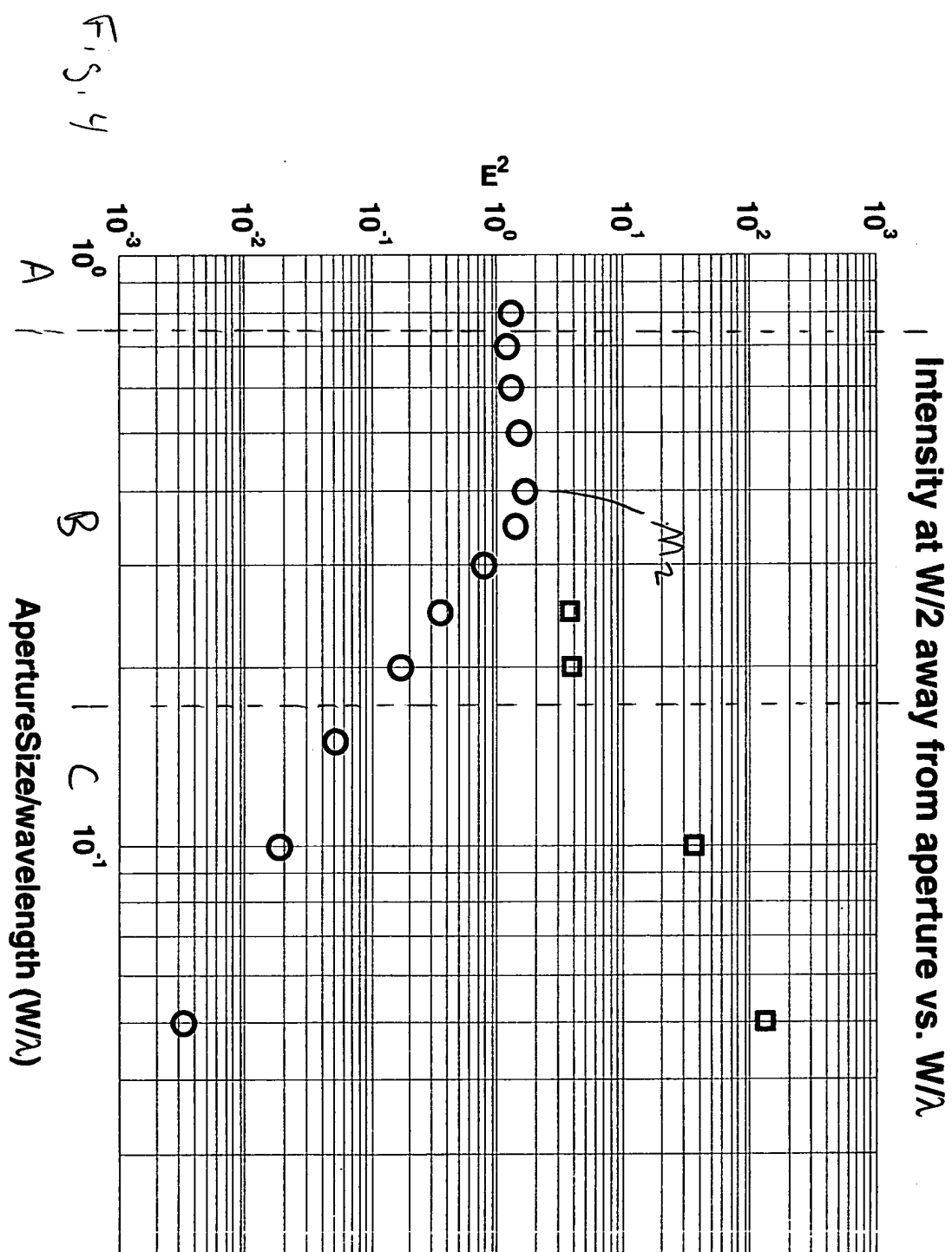


Fig. 5

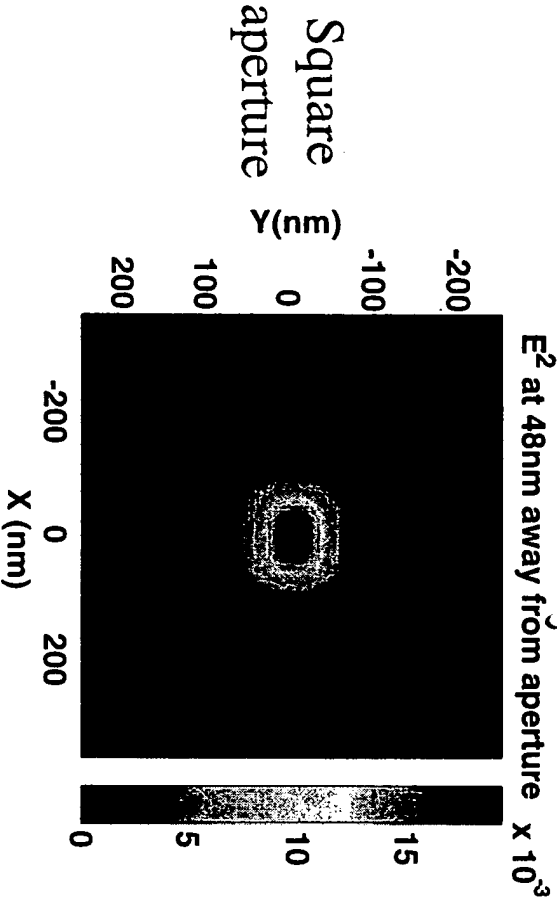


Fig. 6

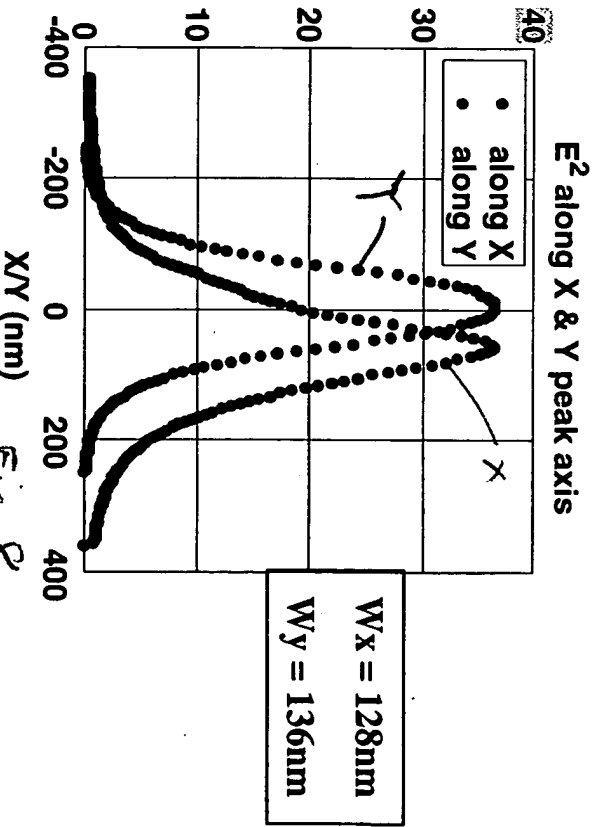
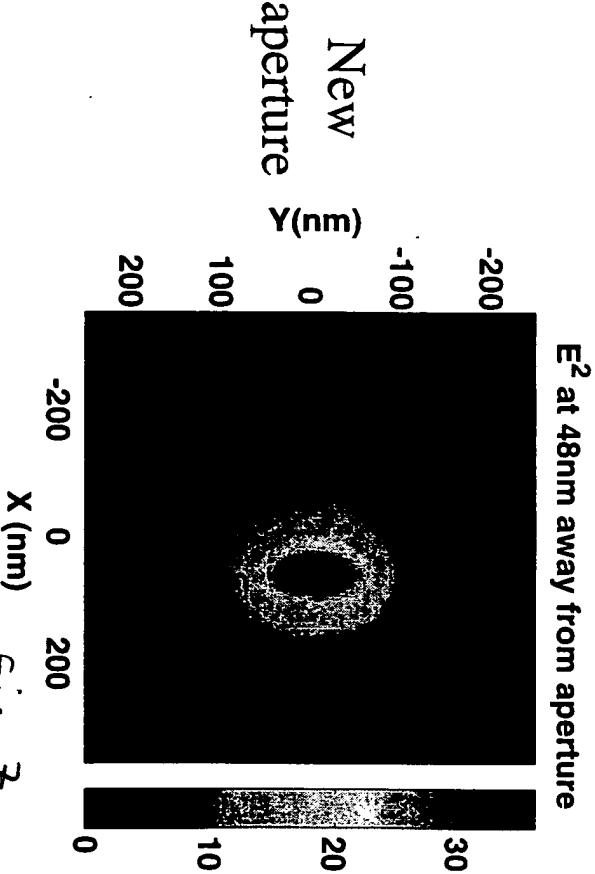
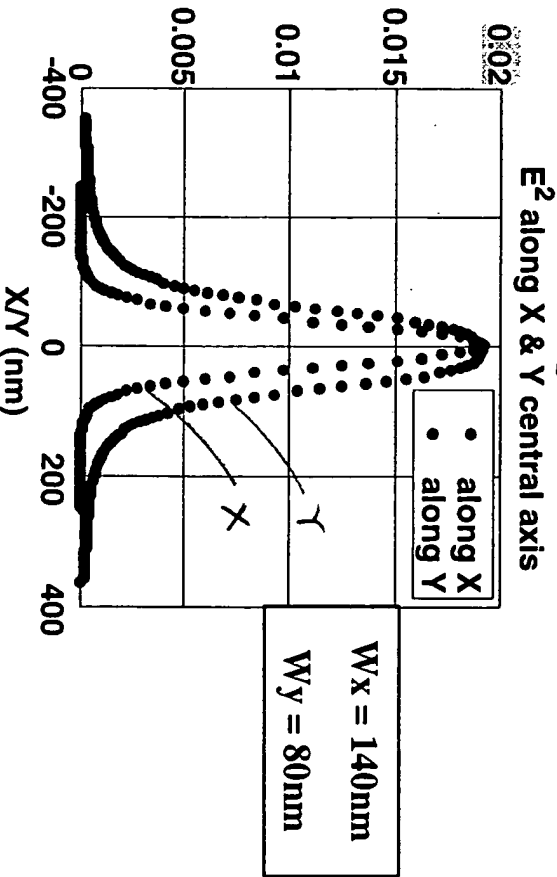


Fig. 7

09650969 000000

Fig. 8

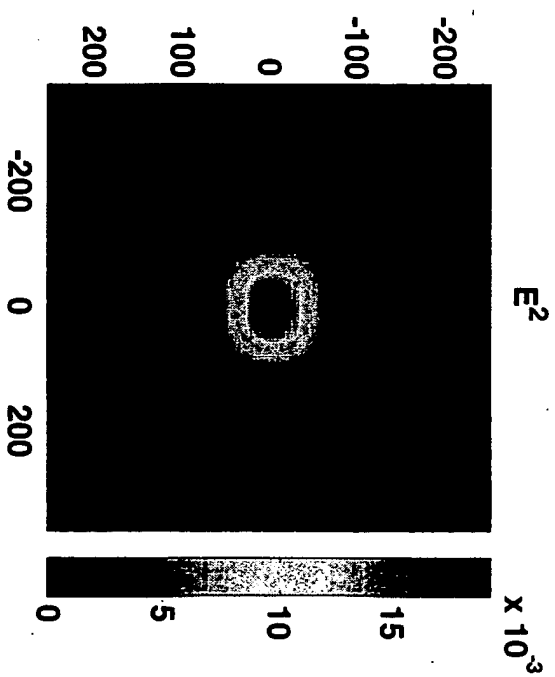
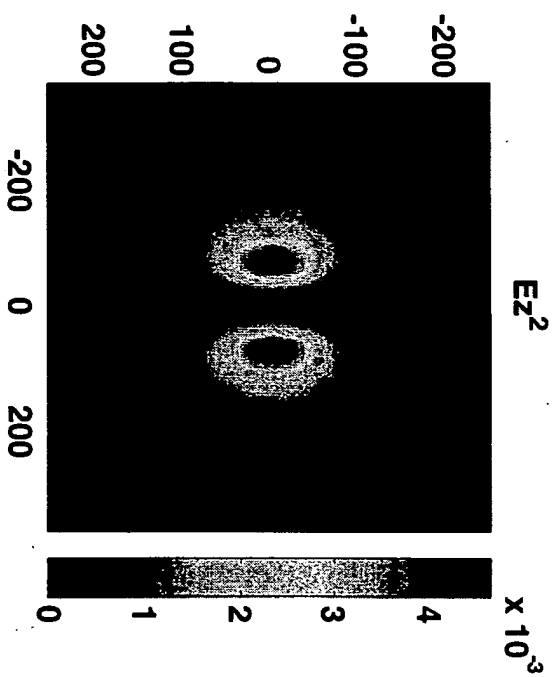
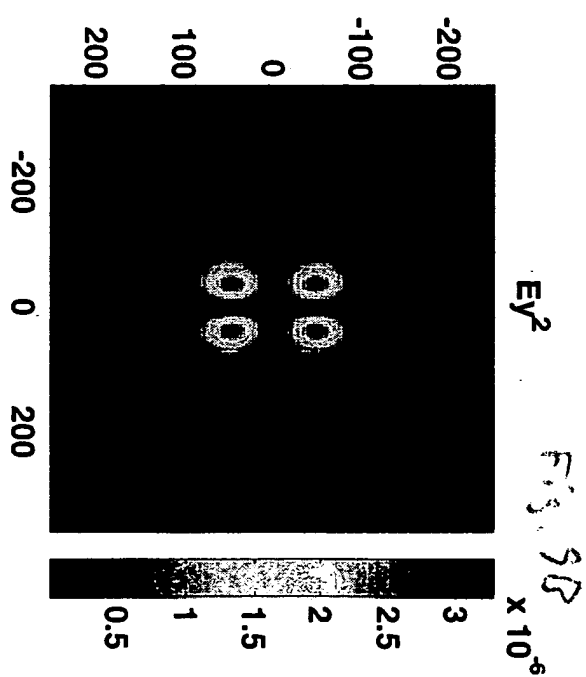
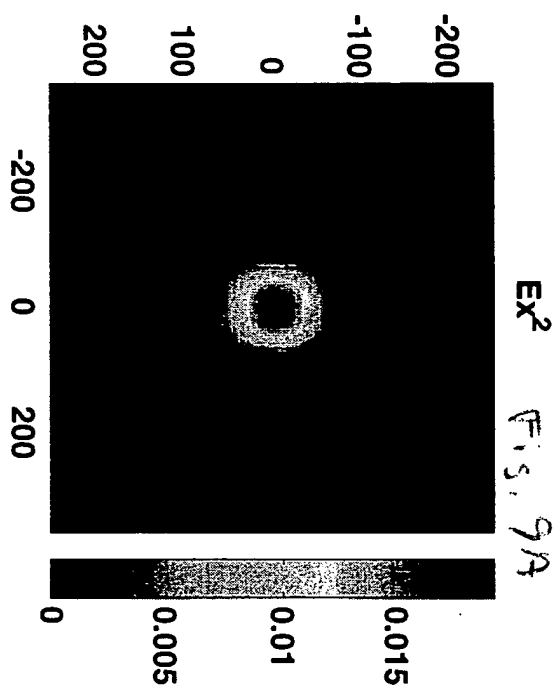


Fig. 9C

Fig. 9D

09650969 082900

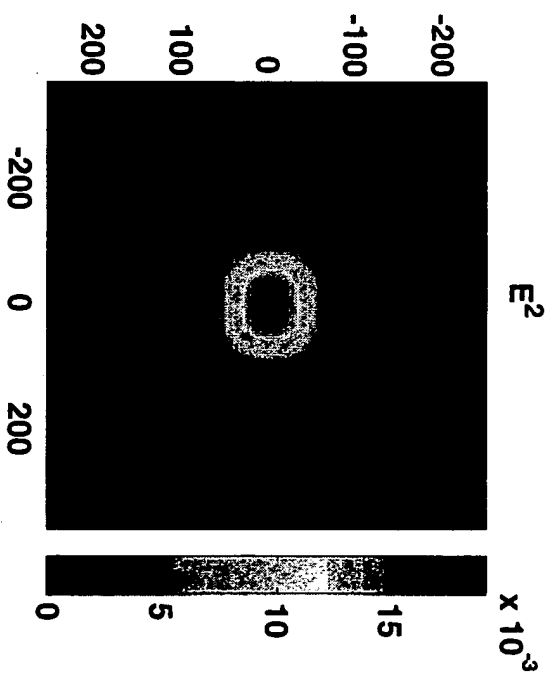
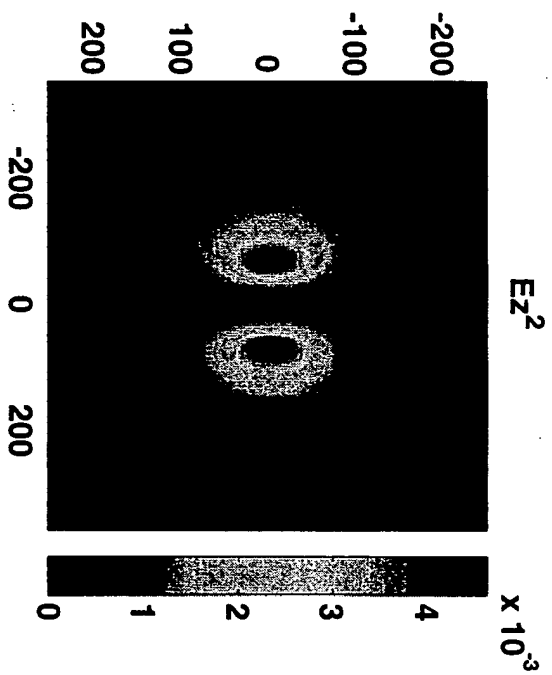
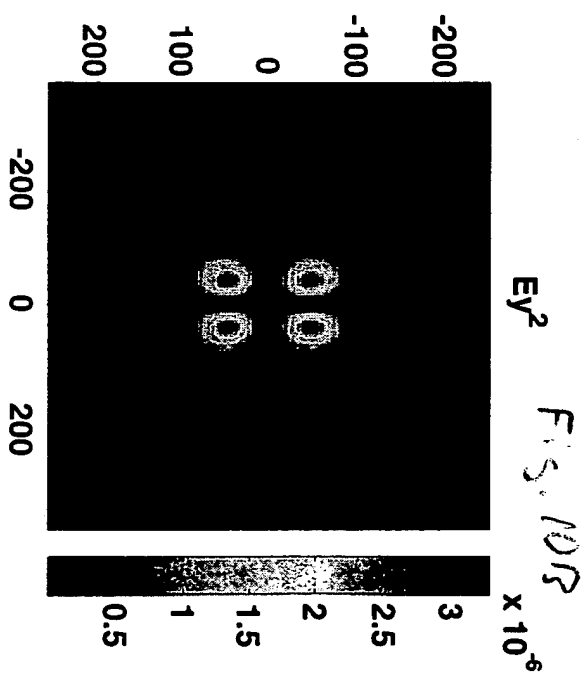
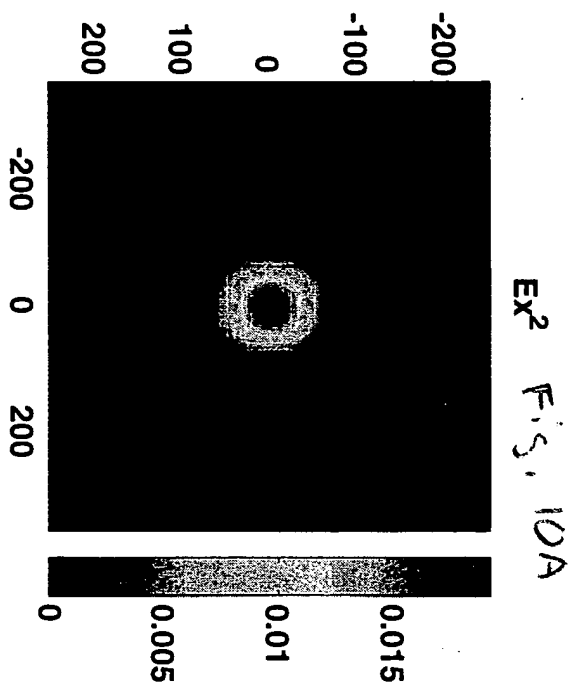
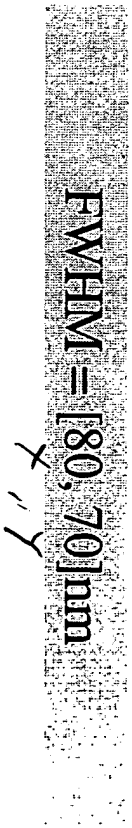
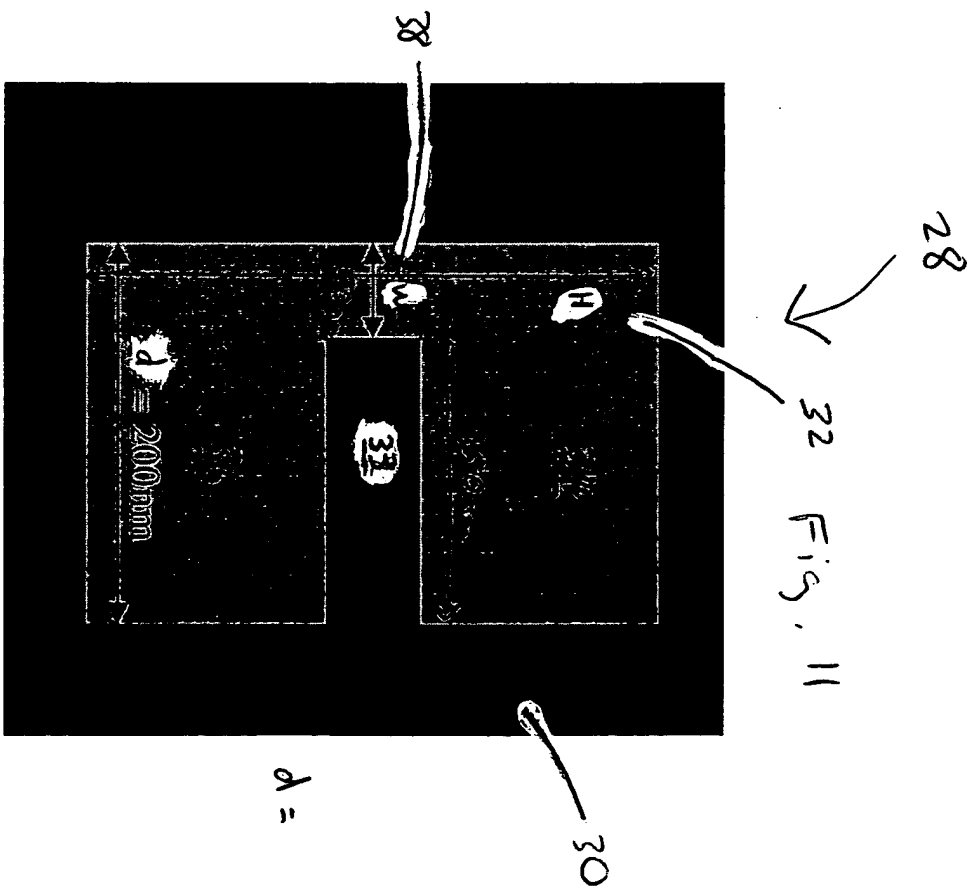


Fig. 10C

Fig. 7

09050969 000000



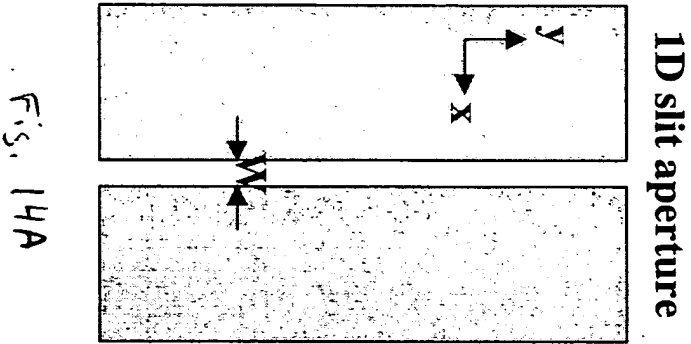


Fig. 14C

slit width(W) (nm)	beam width(nm)		Sz/W	
	polar in X	polar in Y	polar in X	polar in Y
350	420	340	4.43E+12	4.86E+12
300	360	310	4.20E+12	3.30E+12
250	320	260	3.97E+12	1.82E+12
200	260	210	3.67E+12	8.00E+11
150	200	180	3.35E+12	3.72E+11

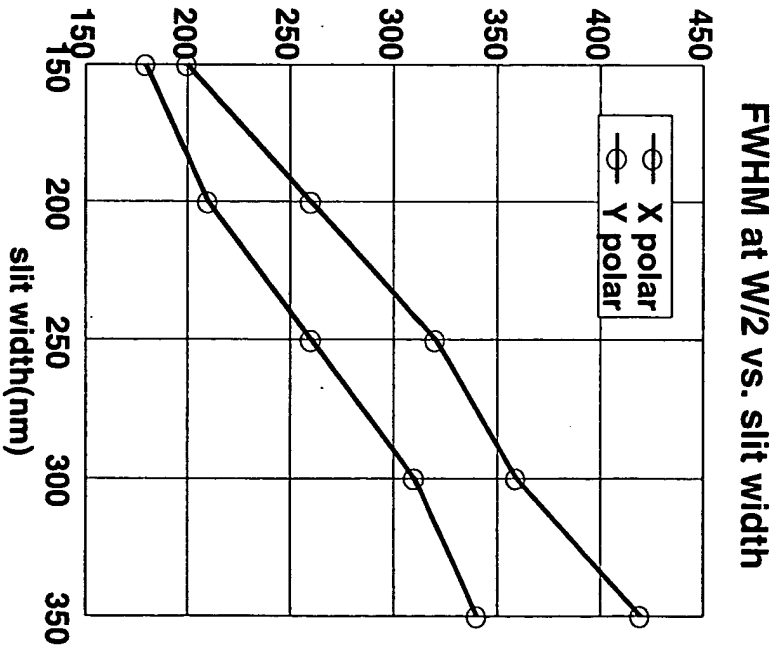
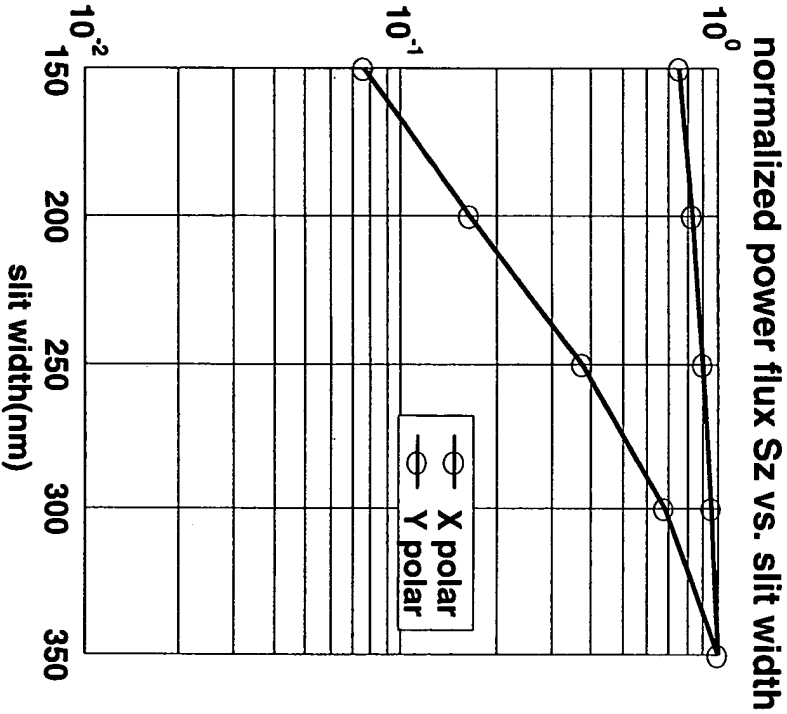
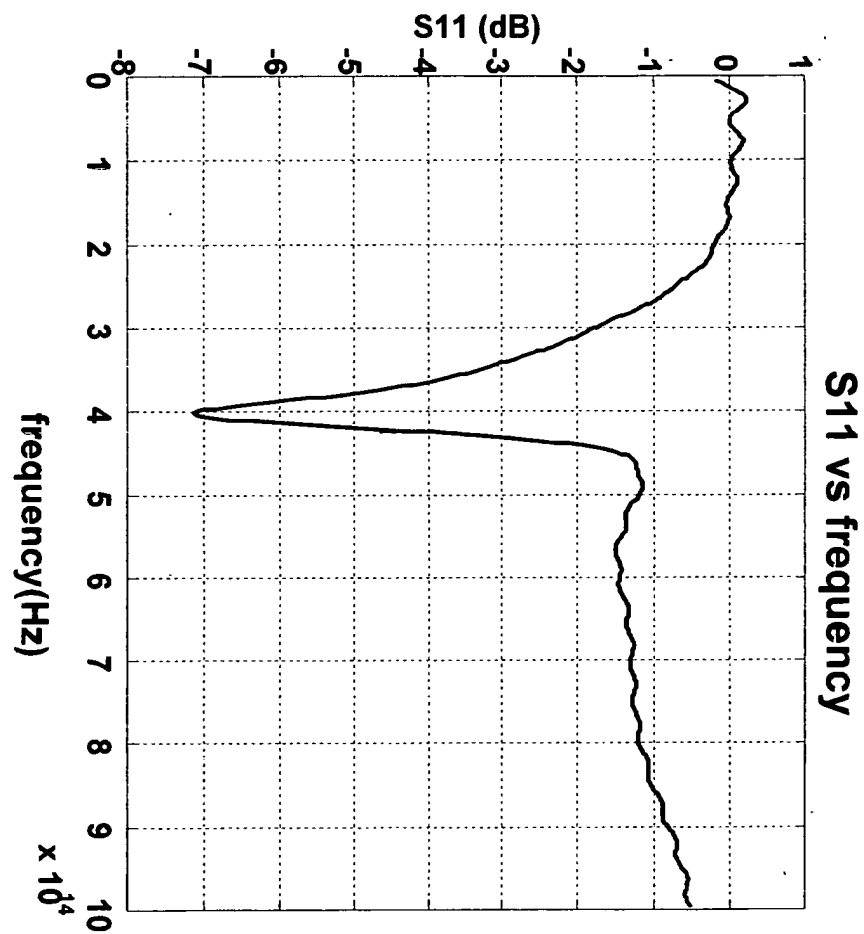


Fig. 14B

03650969-036500

Fig. 14D





Fig, 15

09650969, 082900

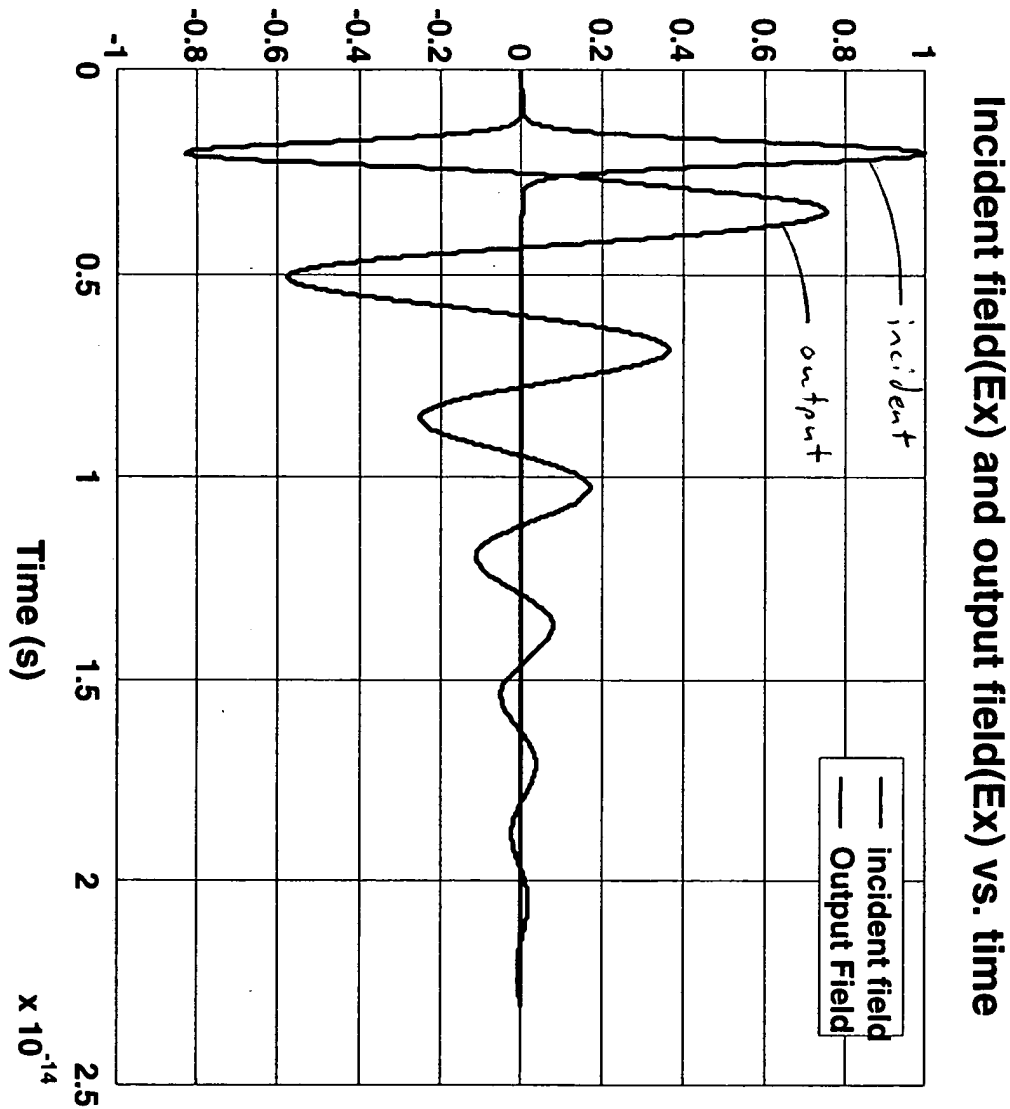


Fig. 16

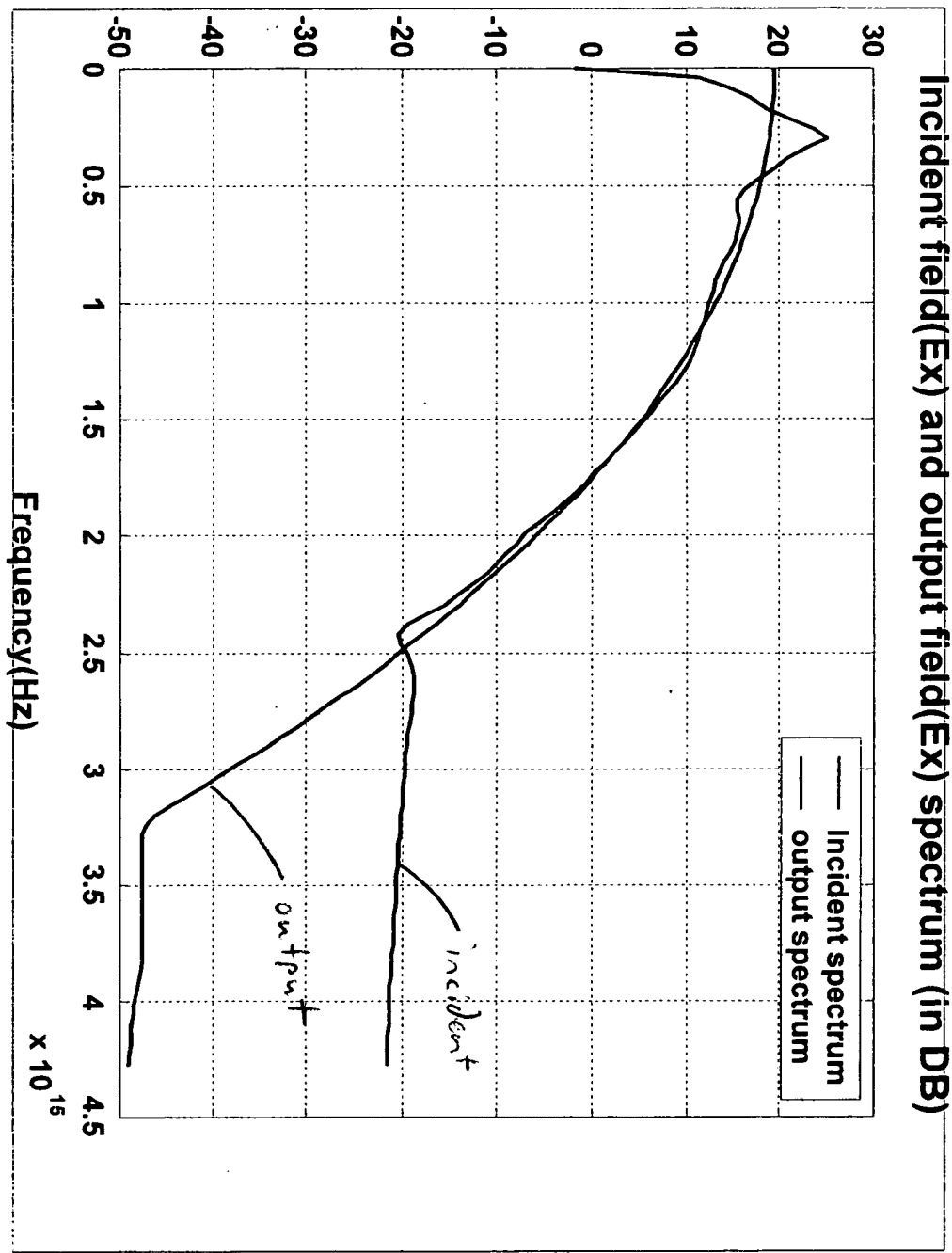
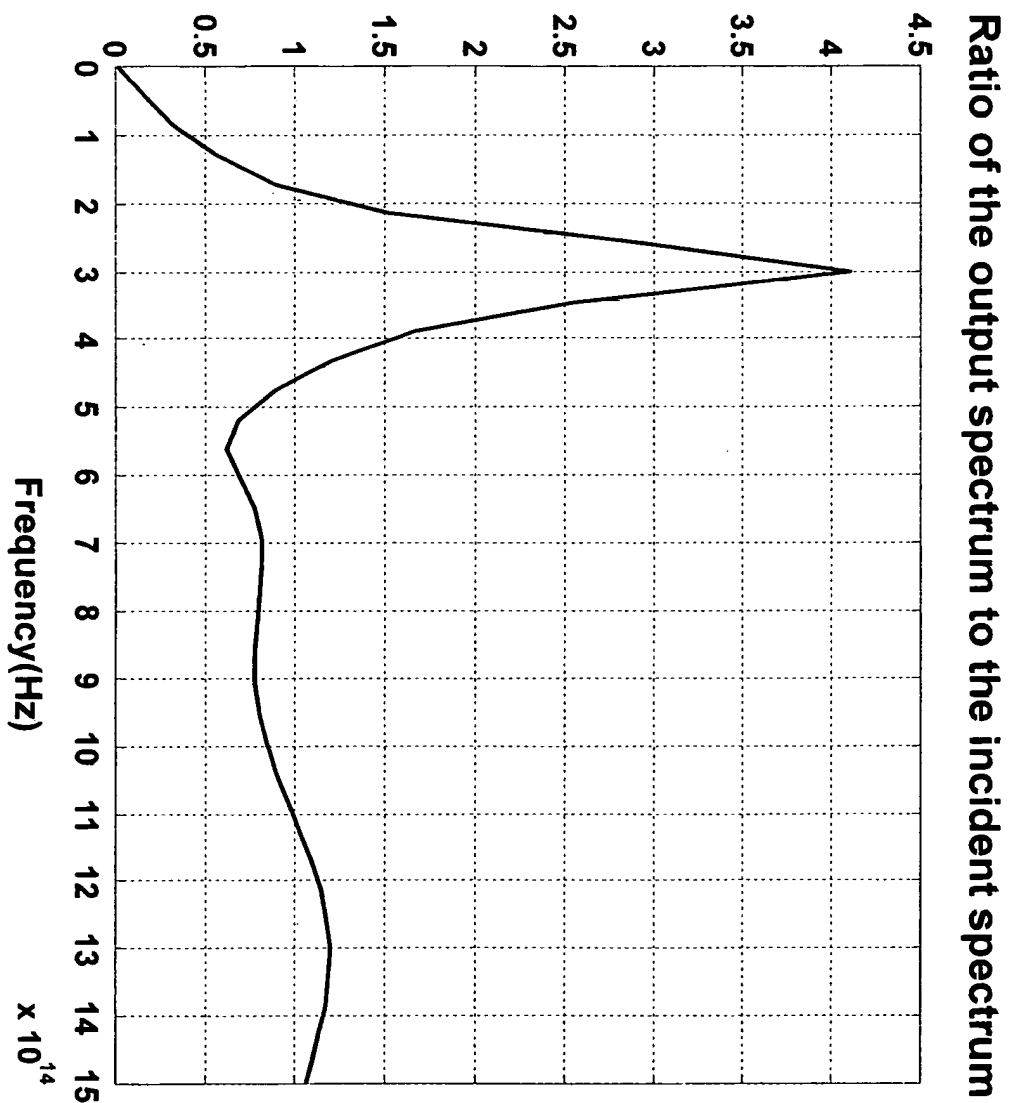


Fig. 17

09650969 082900



09650969 032900

Fig. 18

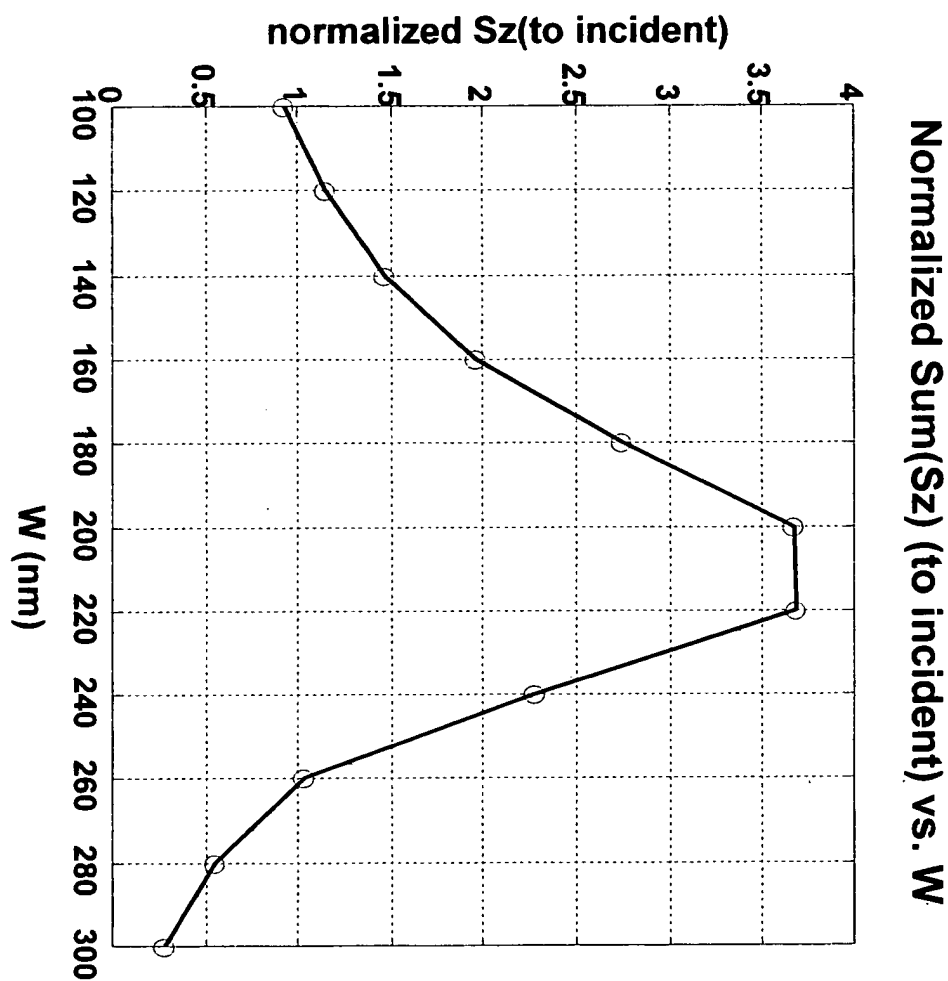
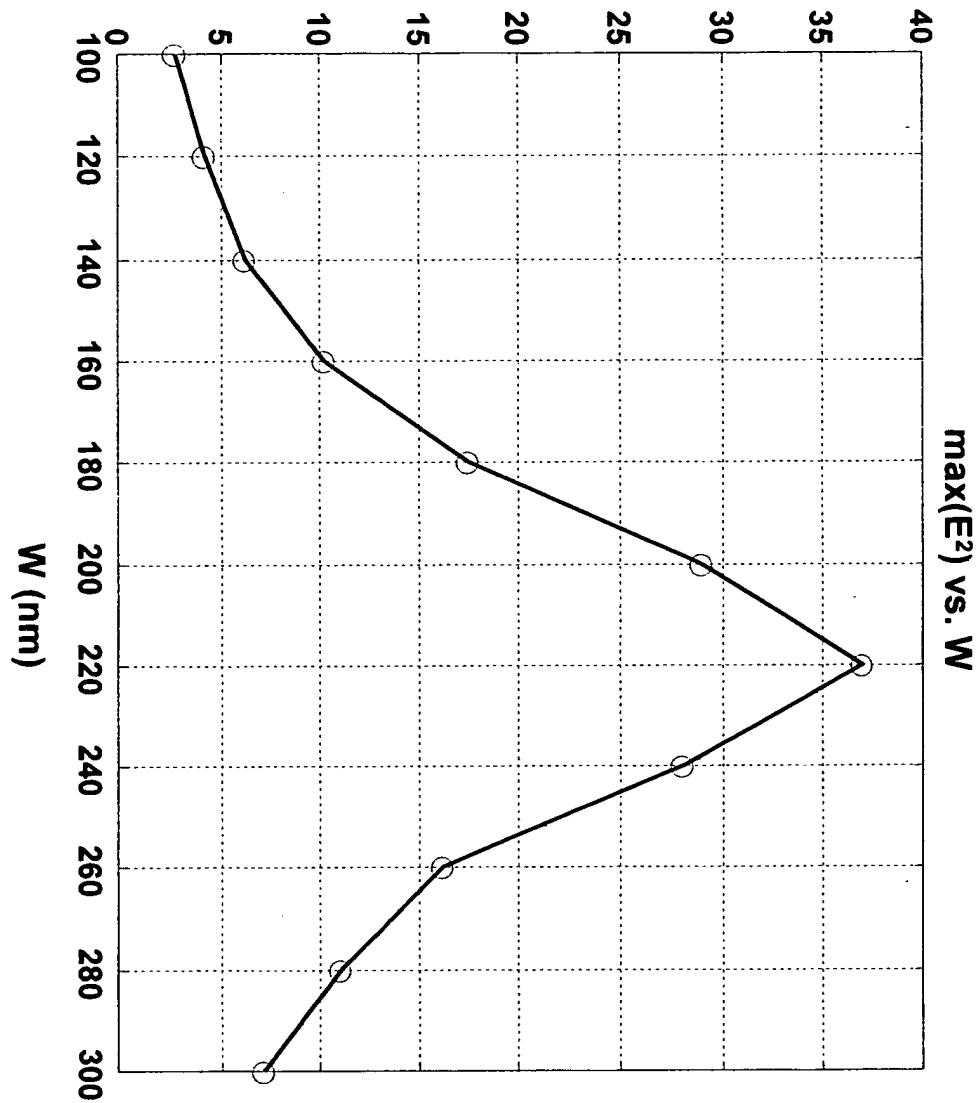


Fig. 19

09650969 032900



09650969 : 082900

Fig. 20

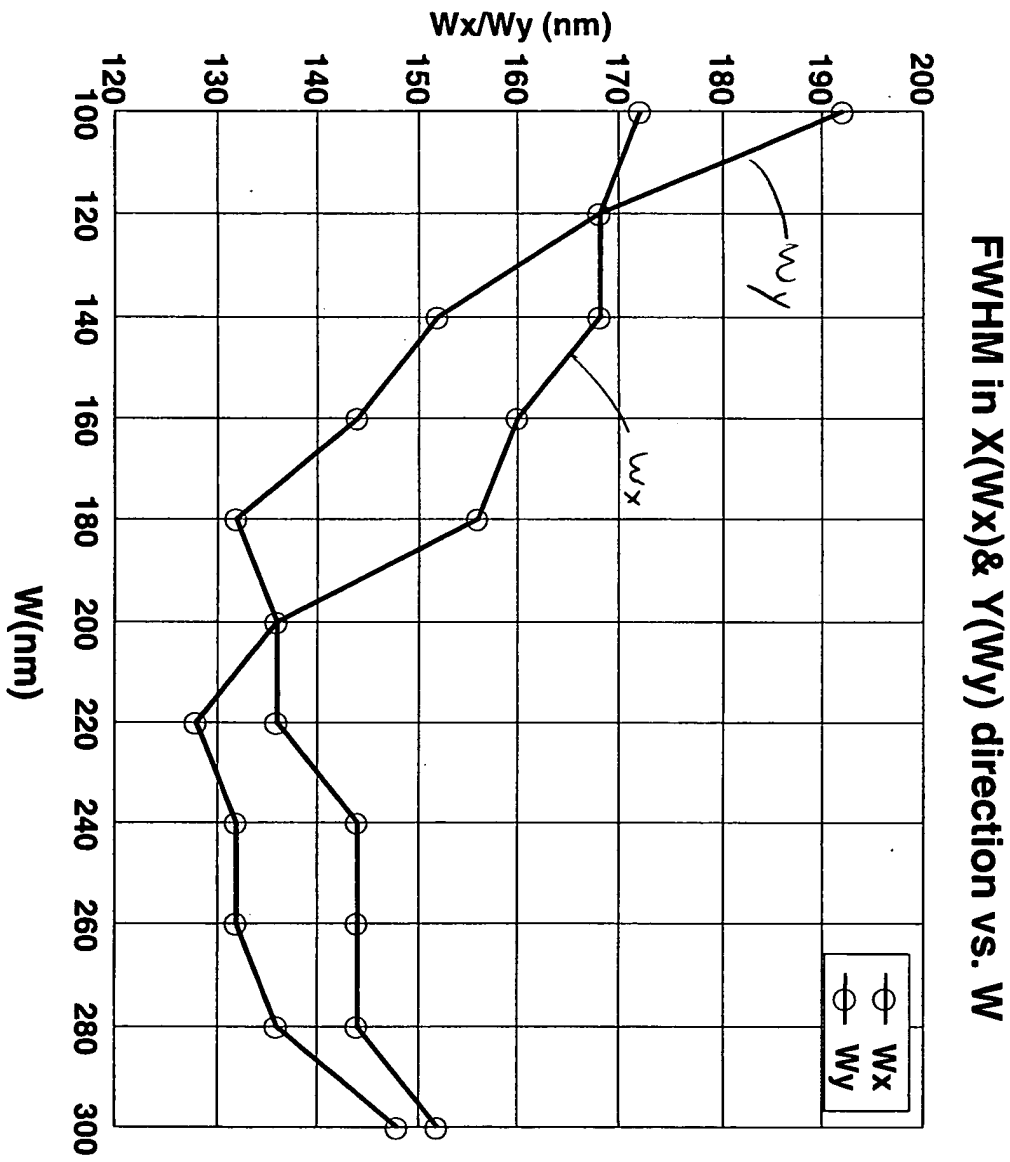


Fig. 21

0950969-082900

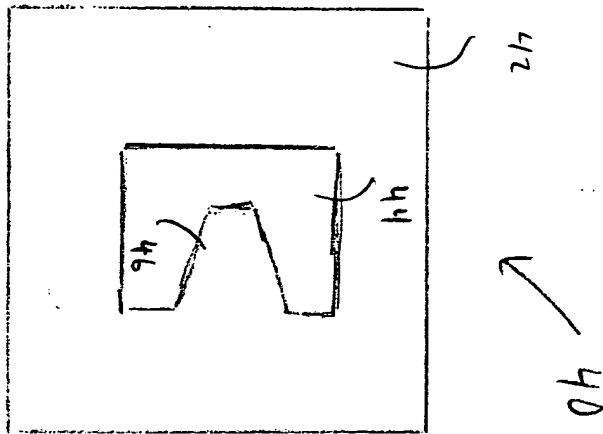


FIG. 22A

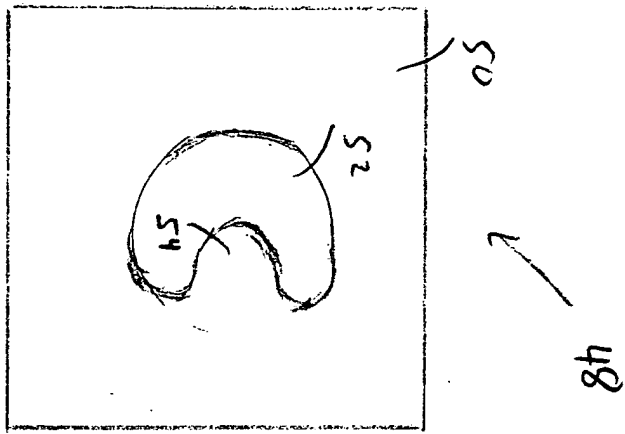


FIG. 22B

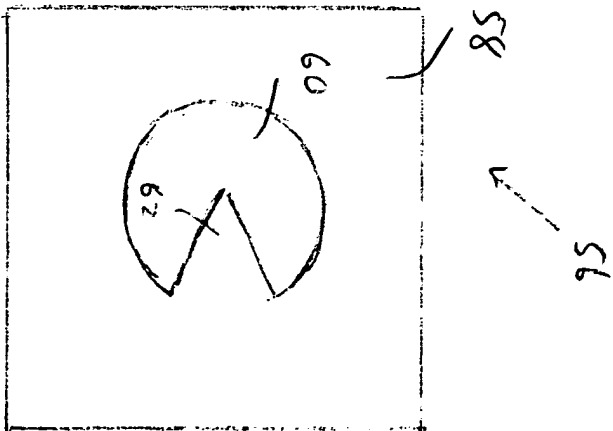


FIG. 22C



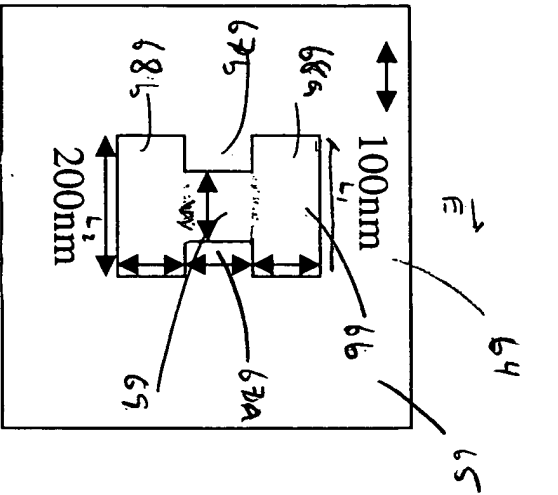


Fig. 23A

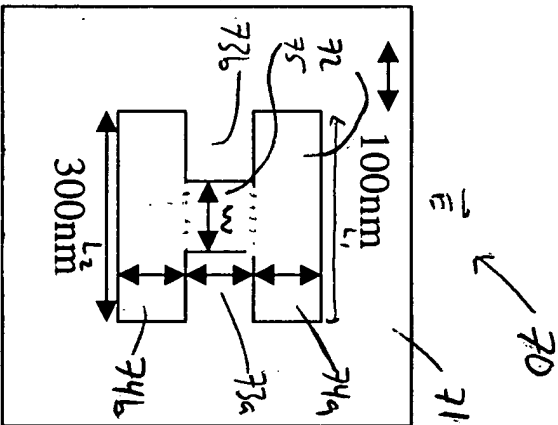


Fig. 23B

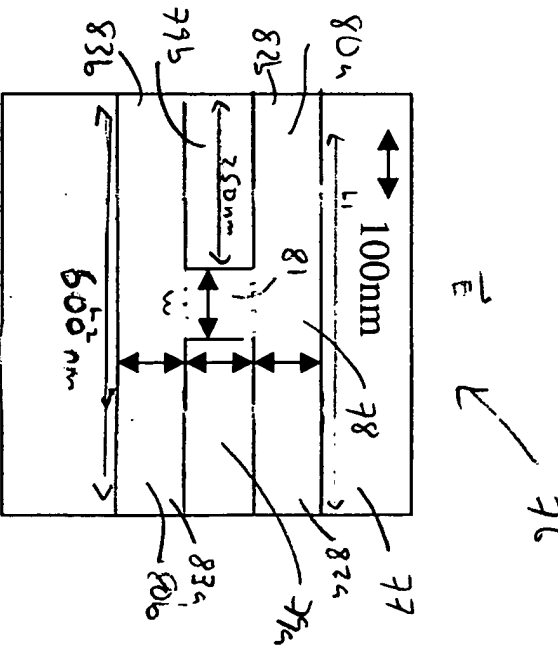
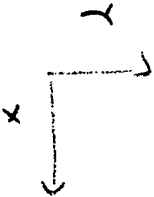


Fig. 23C



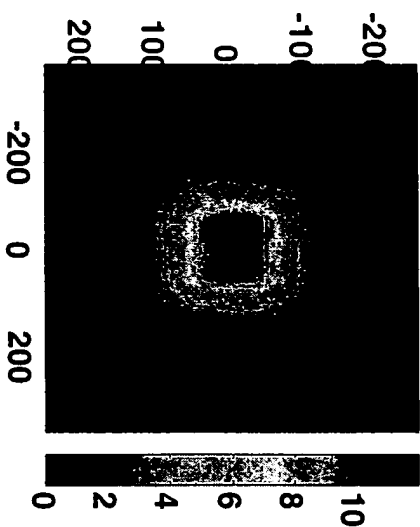


Fig. 24A

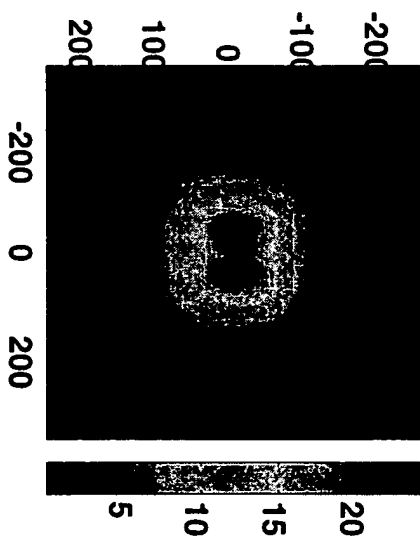


Fig. 24B

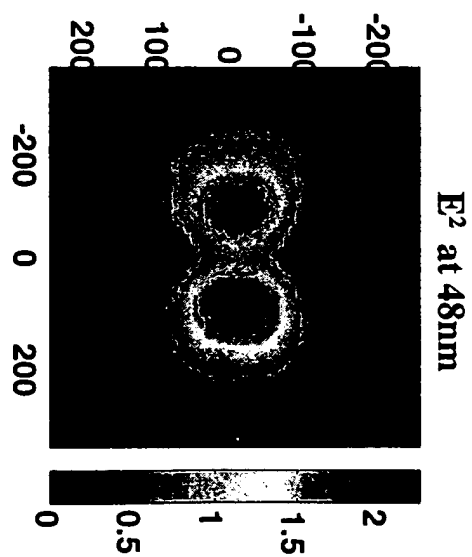
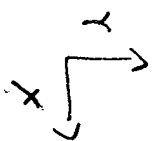


Fig. 24C



09650969 082900

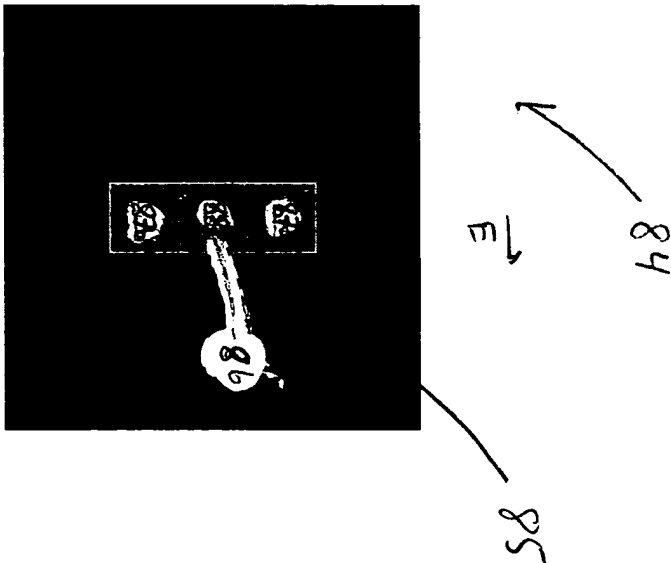


Fig. 25A

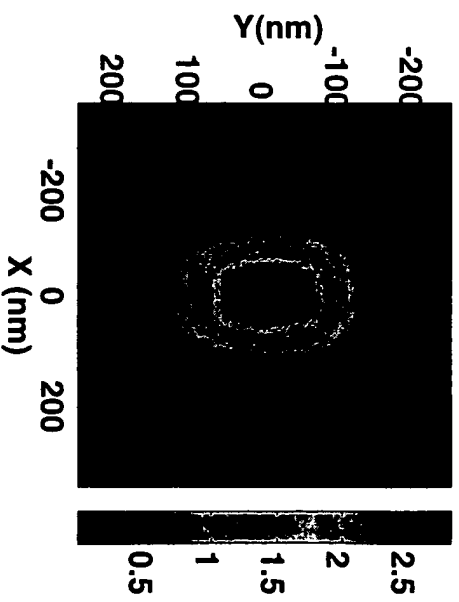


Fig. 25B

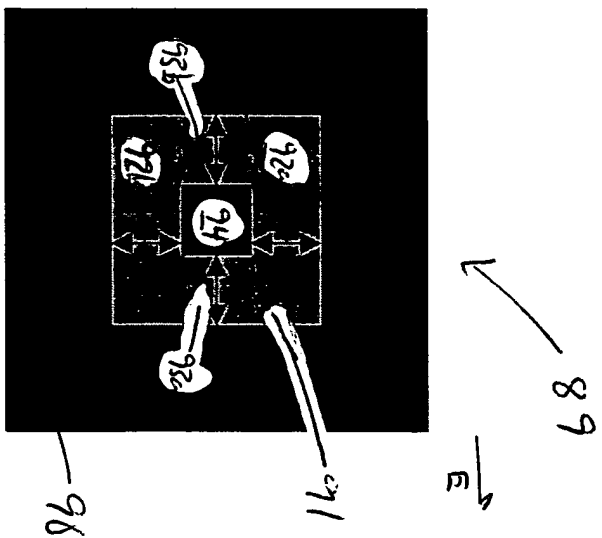


FIG. 26A

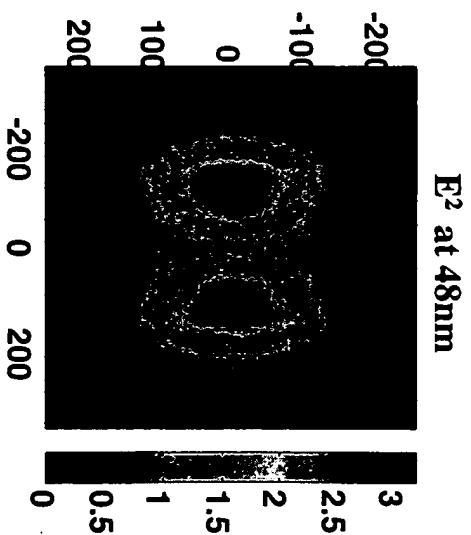


FIG. 26B

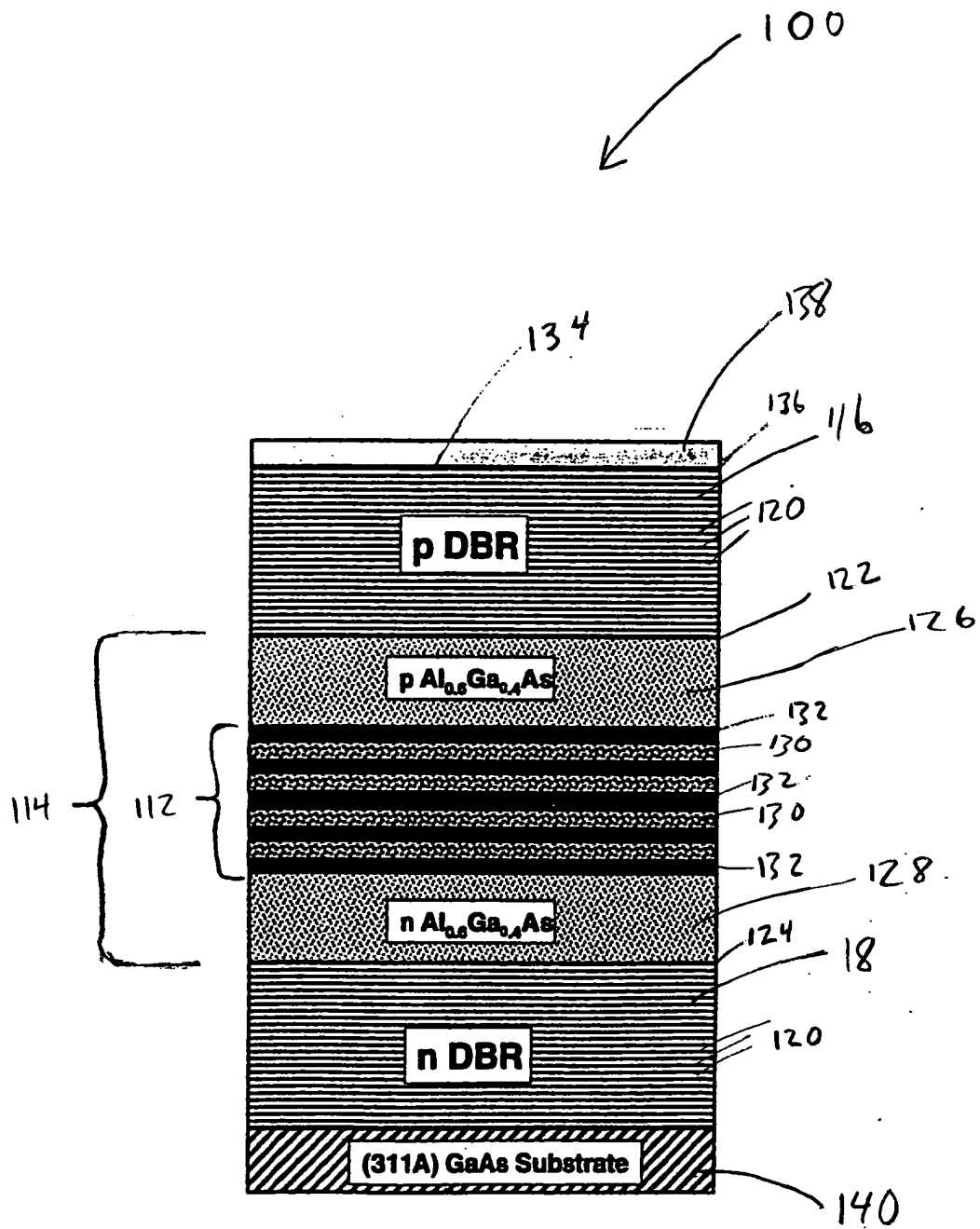


Fig. 27 (PRIOR ART)

00550569.082500

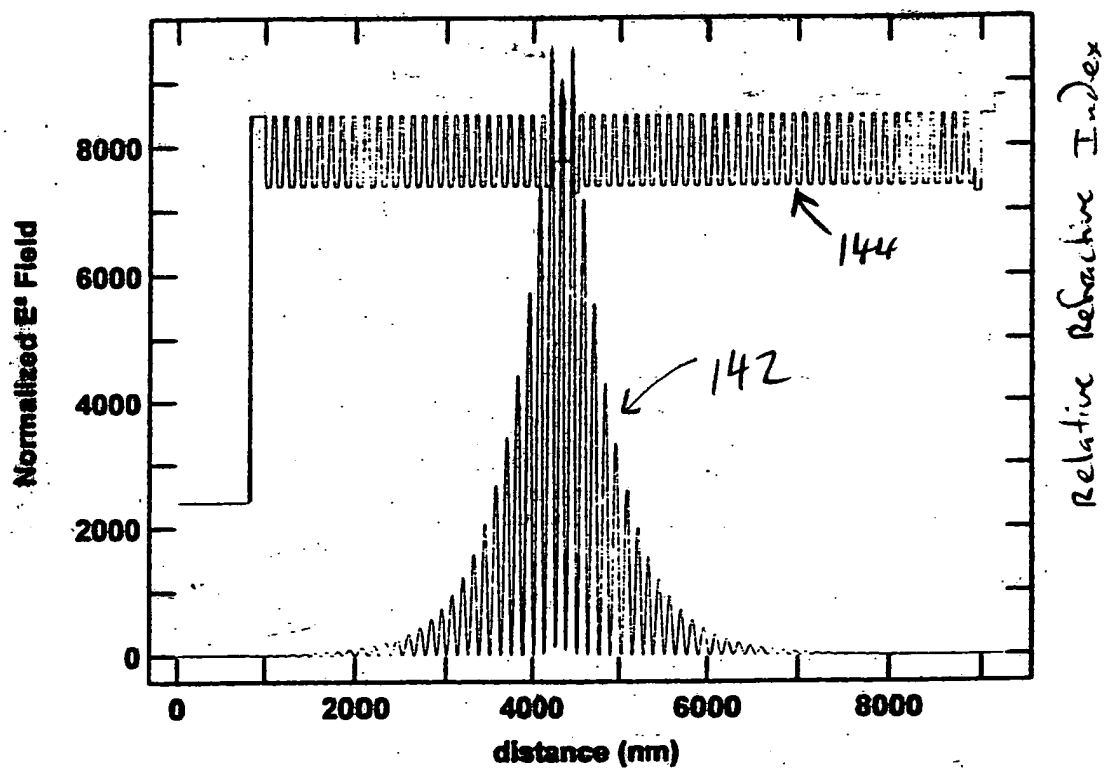


Fig. 28

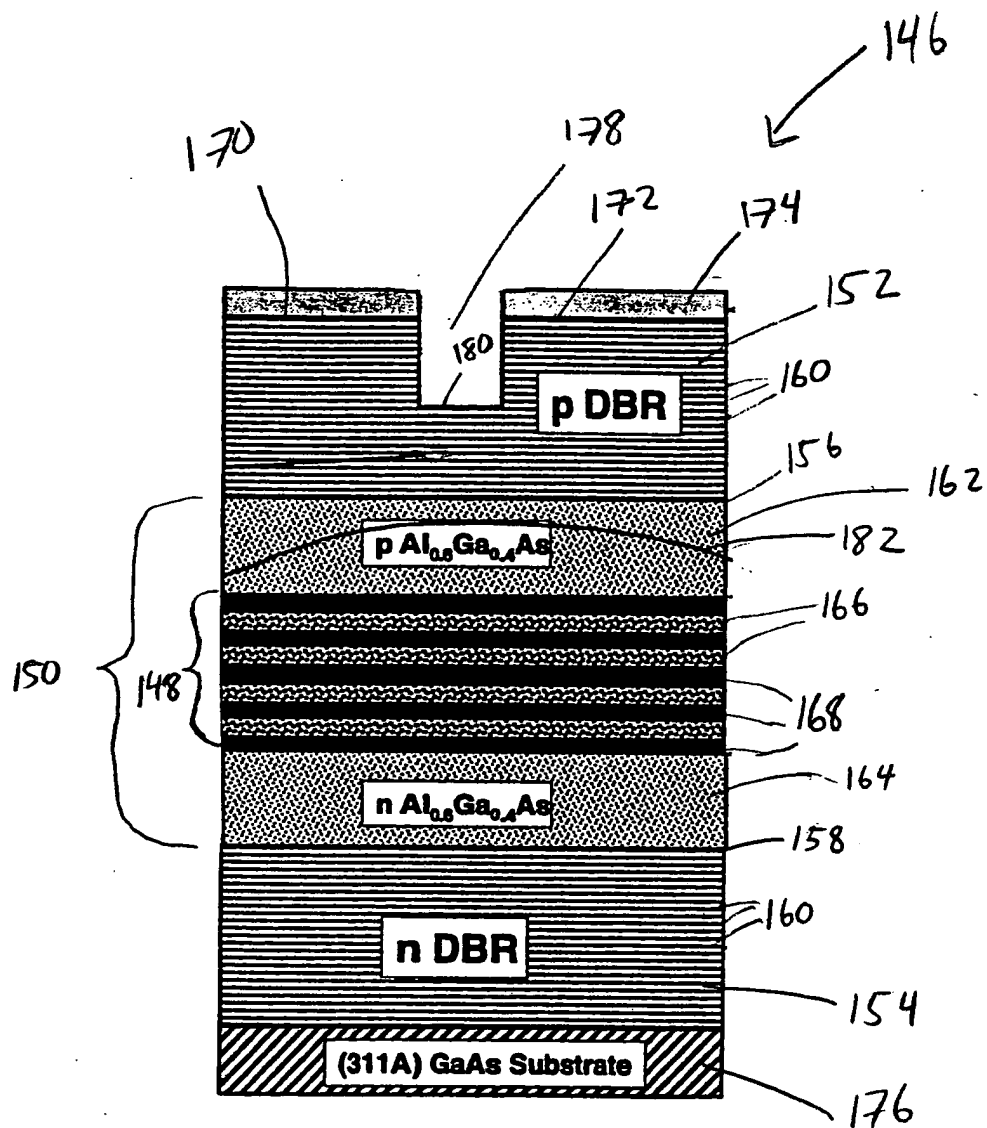
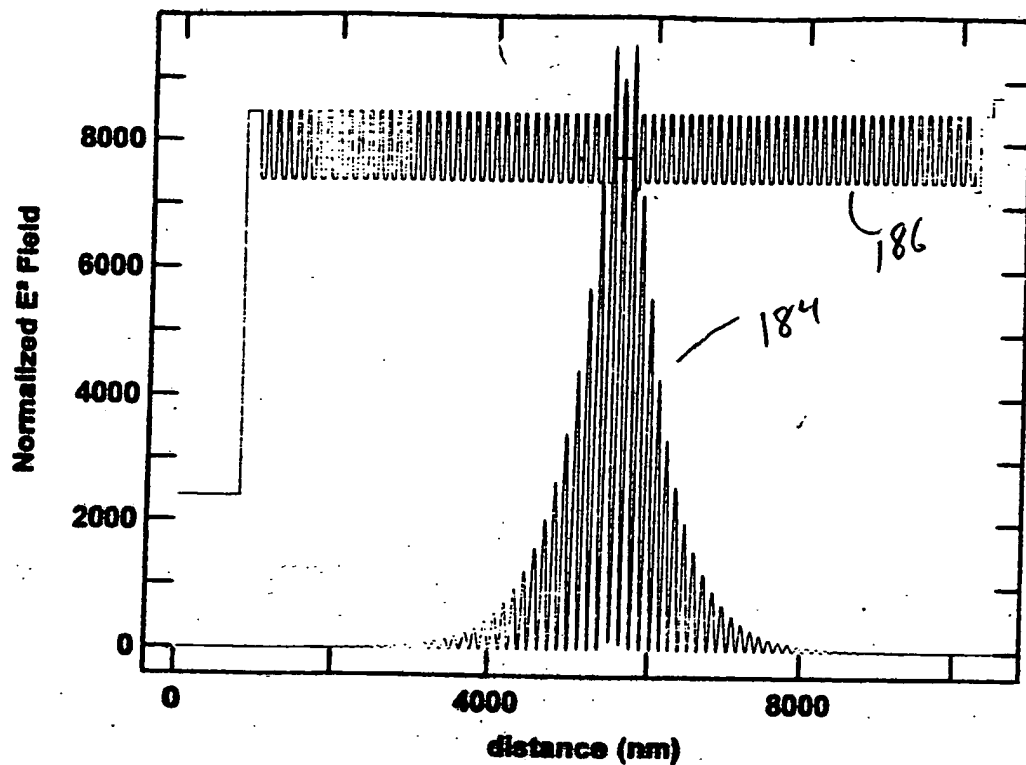


Fig. 29

005096.0000



Relative Refractive Index

Fig. 30



**SECRET**

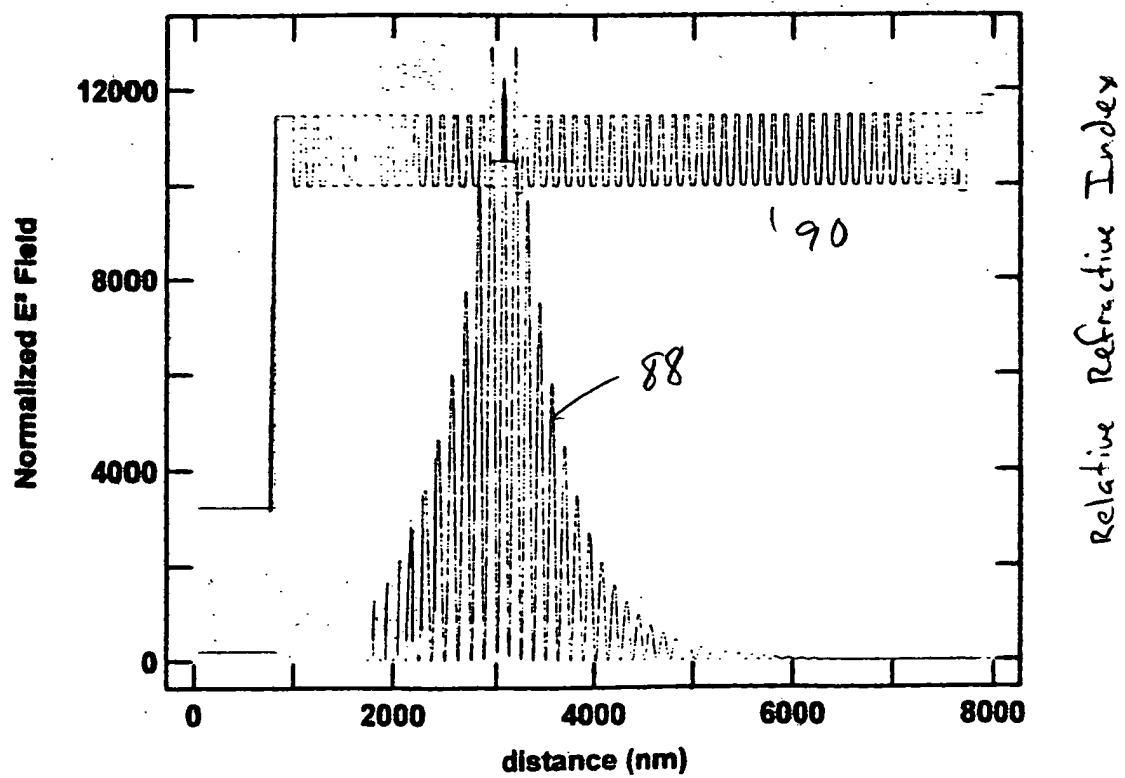


Fig. 31

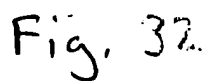


Fig. 32.

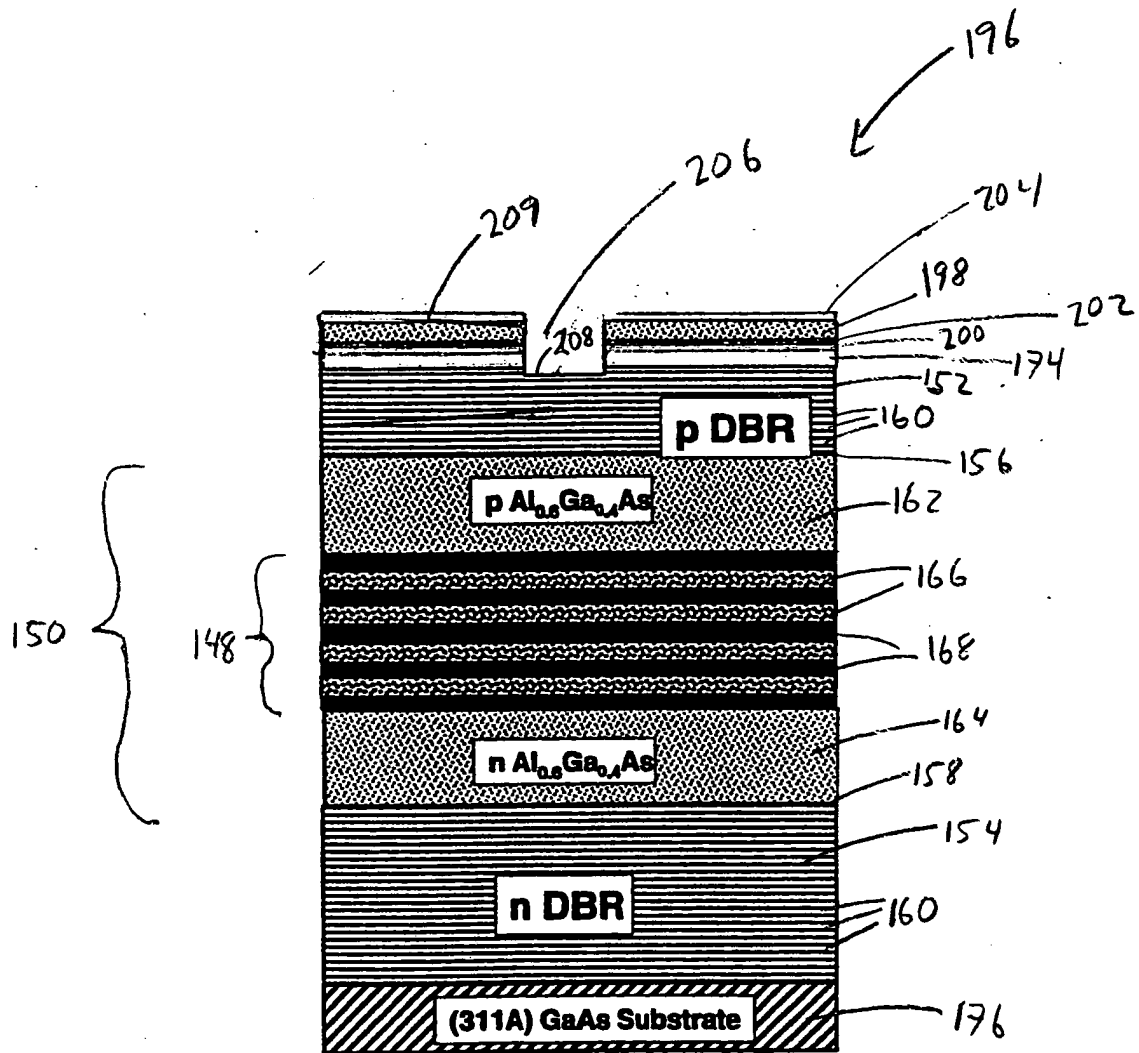


Fig. 33



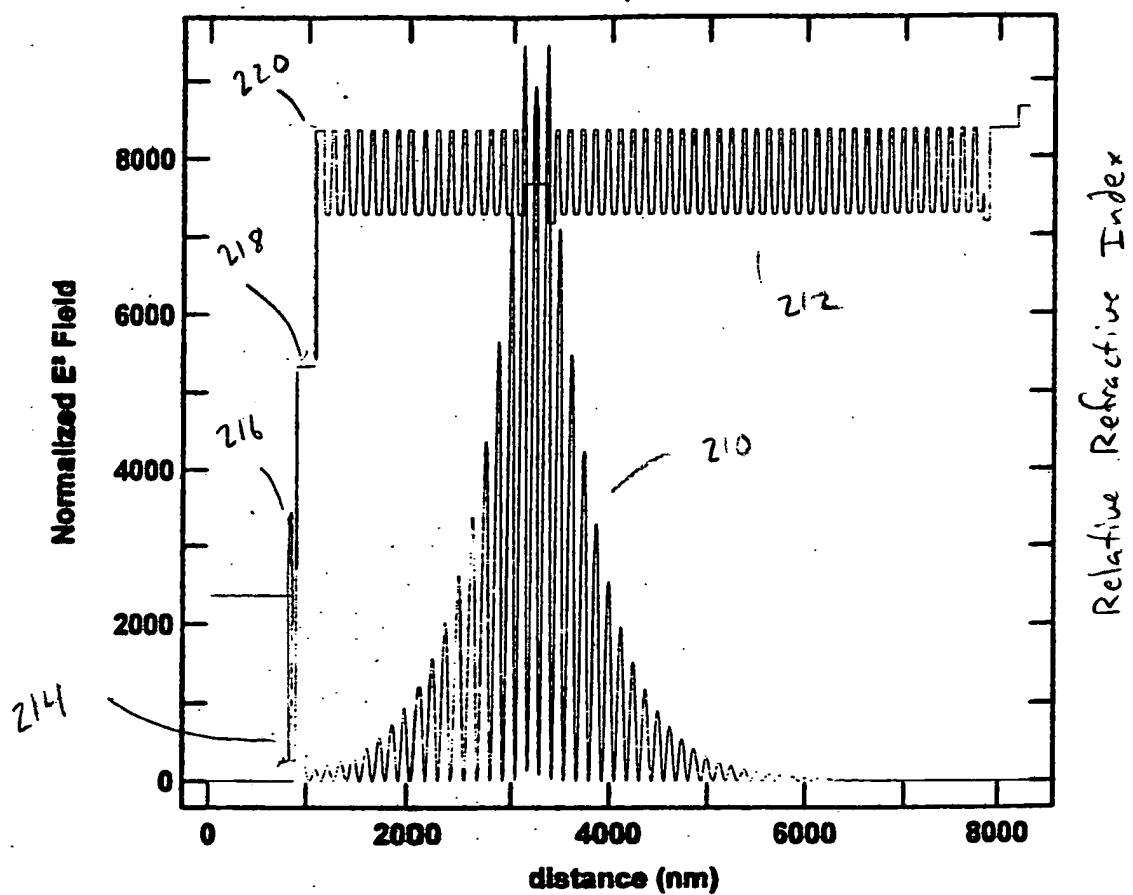


Fig. 34

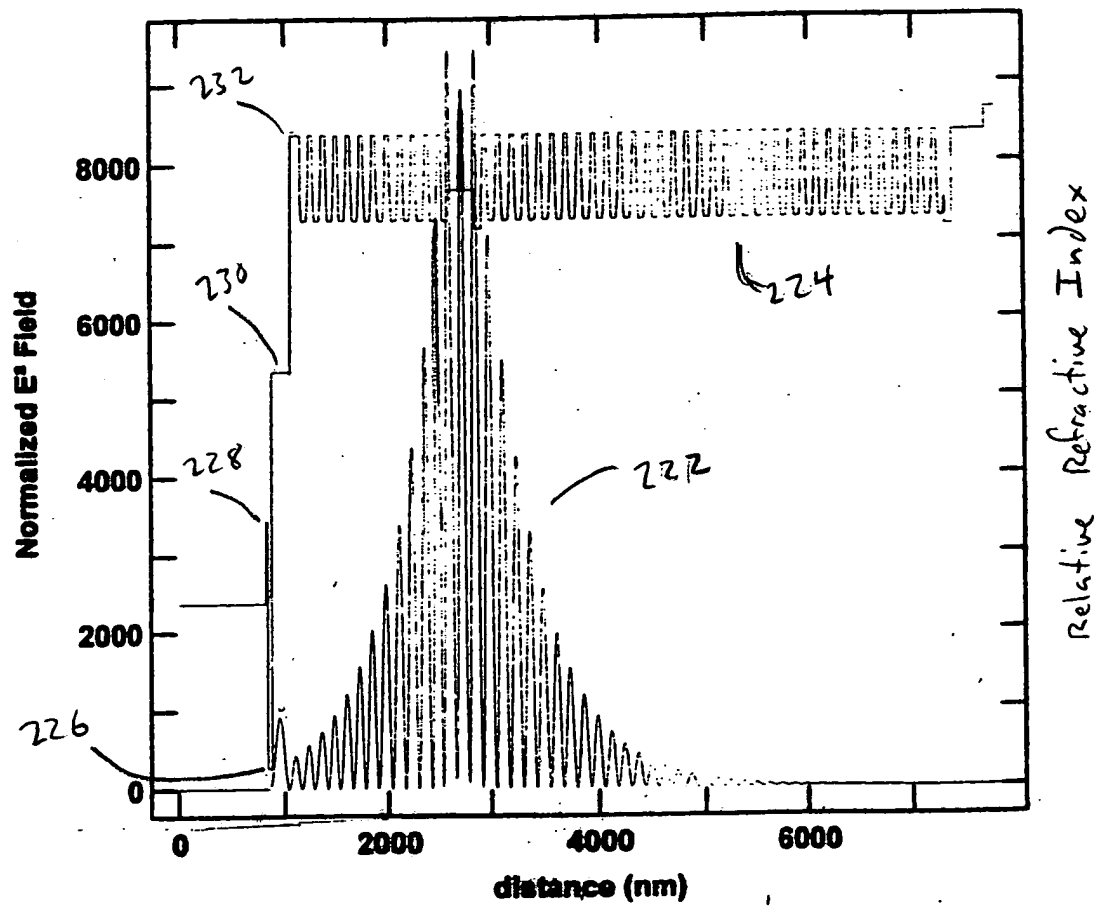


Fig. 35

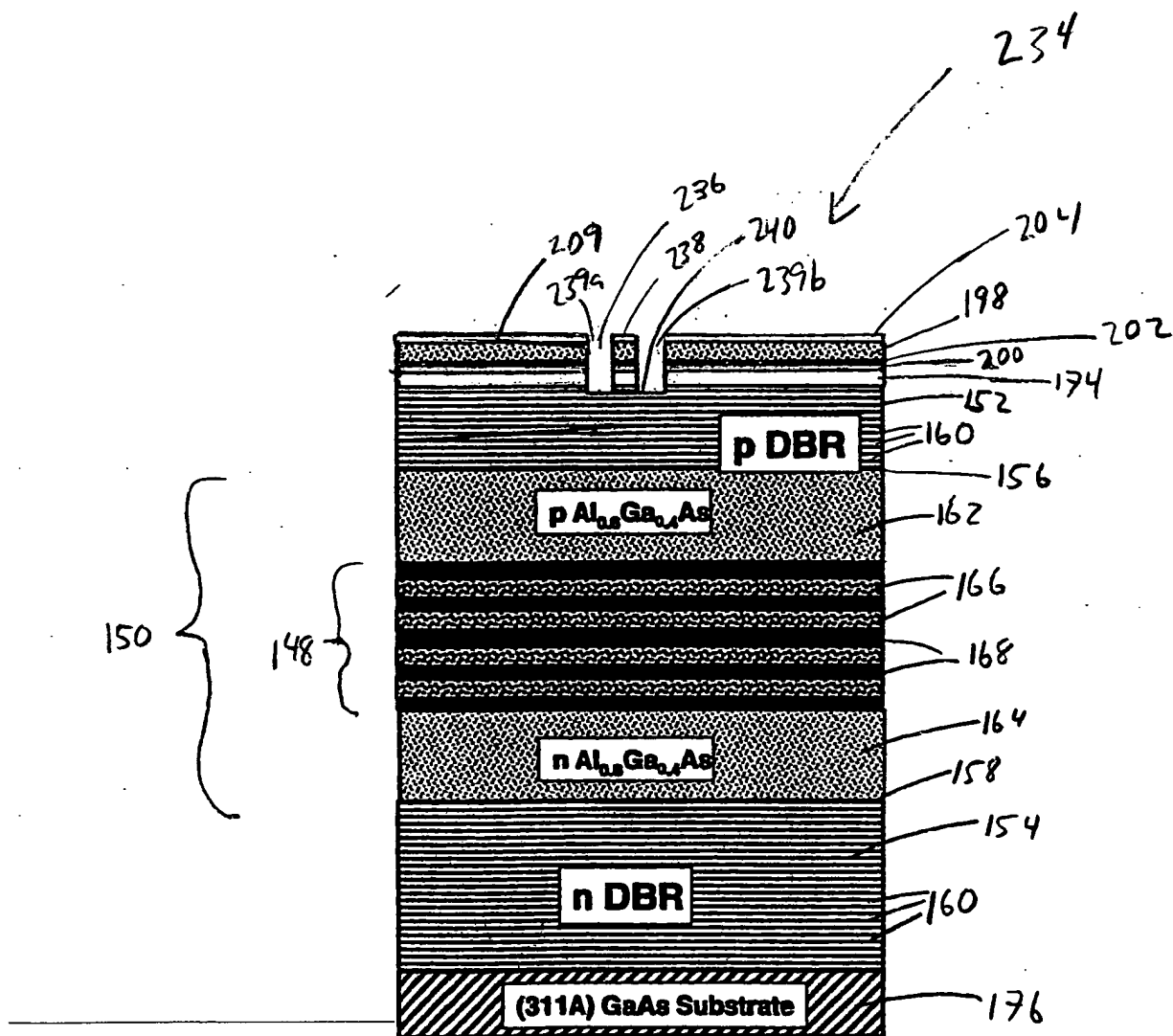


Fig. 36